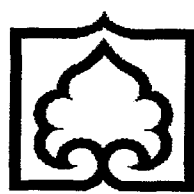


لهم اسْتَغْفِرُكَ

لهم اسْتَغْفِرُكَ



دانشگاه تبریز

دانشکده علوم - گروه شیمی

رساله دکتری جهت اخذ درجه دکتری (Ph.D) شیمی آلی

عنوان:

تهیه نانو کاتالیزور کرومیوم بر پایه سیلیکا و استفاده از آن در  
سترنز نانو فیبرهای پلی اتیلن و ترکیبات آلی

توسط:

ابراهیم احمدی

اساتید راهنما:

دکتر علی رمضانی

دکتر مهدی نکومنش حقیقی

استاد مشاور:

دکتر فرهاد شریف

تیر ۱۳۸۷

۱۰۲-۷۴۵

## تشکر و قدردانی

با سپاس به درگاه پروردگار یکتا که شور حقیقت جویی را در وجود تمامی انسانها قرار داده و همچون آفتابی نور هدایتش را در پنهان گیتی گسترانیده است.

در انجام این تحقیق از همکاری و مساعدت دوستان بسیاری استفاده شده است که در اینجا مراتب سپاسگزاری و تشکر خود را نسبت به آنان اعلام می‌دارم.

- پدر و مادر فداکارم که از کوچکترین زحمتی در طول زندگیم دریغ نکرده‌اند و درس زندگی را به من آموخته‌اند.

- خواهر و برادران منهربانم که با راهنمایی و تشویق‌های خود مرا در تمام مراحل زندگی یاری نموده‌اند.

- دوست و همسر عزیزم که با کمکهای شبانه روزیش، مسیر تحقیق را برایم لذت بخش‌تر نموده اند و بی‌شک بخش بزرگی از این تحقیق مدیون تلاشهای ایشان می‌باشد.

- استاد راهنمای محترم، جناب آقای پروفسور علی رمضانی، که راهنمایی این پروژه را به عهده داشتند و روش تحقیق را به من آموختند. توفیق ایشان را از درگاه خداوند متعال خواهانم.

- استاد راهنمای محترم آقای دکتر مهدی نکومنش حقیقی که شاگردی ایشان افتخاری بزرگ برای اینجانب بوده و در تمام مراحل این دوره از راهنمایی‌های ارزشمند ایشان بهره‌مند بوده‌ام. ایشان با بزرگواری بسیارشان امکانات لازم را در پژوهشگاه پلیمر و پتروشیمی ایران در اختیار اینجانب قرار دادند.

- استاد محترم جناب آقای دکتر فرهاد شریف که زحمت مشاوره این پایان نامه را به عهده داشتند و از راهنمایی‌های علمی ایشان کمال استفاده را نموده‌ام.

- استادید محترم جناب آقایان دکتر فرامرز افشار طارمی، دکتر حسن عربی، دکتر عباس عزیزیان، دکتر مختار علی‌نیا که زحمت داروی این پایان نامه را به عهده داشتند.

- شرکت پژوهش و فناوری پتروشیمی مرکز تهران که تأمین بخشی از هزینه‌های پروژه را به عهده داشتند و امکانات آزمایشگاهی را تا حد امکان در اختیارم قرار دادند.

- مدیر عامل محترم شرکت پژوهش و فناوری مرکز تهران جناب آقای دکتر مسعود آقاجانی، رئیس محترم گروه پلیمر جناب آقای دکتر مهدی قافله باشی، کارکنان آزمایشگاه پلیمر، کارکنان آزمایشگاه آنالیز پلیمرها، رئیس امور مستندسازی جناب آقای آرش وحیدی، مسئول انبار مواد جناب آقای مهدی زرافشان، خانم‌ها فریده عظیم‌فر، نونا قاسمی، زیبا حسنوند، محمدی جم، زارع، نگهبانان و کارکنان بخش خدمات اداری که در طول انجام این پروژه با اینجانب همکاری صمیمانه داشتند و از هر گونه کمکی دریغ نکردنند.

- آقایان ذوق‌قدر و آدینه‌لو مسئولان محترم کتابخانه دانشکده شیمی دانشگاه زنجان، آقای فرزانه مسول آزمایشگاه NMR، خانم عباسی و تمامی کارمندان و کارکنان محترم بخش‌های اداری، خدماتی، آموزش، امور پژوهش و امور دانشجویی، دوستان و همکارانم در آزمایشگاه تحقیقاتی شیمی آلی دانشگاه زنجان که از هر گونه کمکی دریغ نکردنند.

و بالاخره با تشکر از تمامی دوستان عزیزم که ما را در انجام این رساله یاری نمودند.

تقدیم به

پدر فداکارم،

مادر مهربانم

و

همسر عزیزم

## بخش اول

تهیه نانوکاتالیزور کرومیوم بر پایه سیلیکا و

استفاده از آن در سنتز نانو فیبرهای پلی اتیلن

## بخش اول

### فهرست مطالب

عنوان	فصل اول:	صفحه
چکیده		
تنهیه سیلیکا به عنوان نگهدارنده کاتالیزور فیلیپس		
۱	۱	۹
تاریخچه		
۱-۱	۹	۹
روش تهیه کاتالیزور		
۲-۱	۱۰	۱۰
نقش سیلیکای نگهدارنده		
۳-۱	۱۳	۱۳
تشکیل سایت فعال		
۱-۳-۱	۱۴	۱۴
ماهیت سایت‌های فعال		
۲-۳-۱	۱۵	۱۵
قطعه قطعه شدن		
۳-۳-۱	۱۶	۱۶
تأثیر ساختار نگهدارنده بر روی فعالیت کاتالیزور و ویژگی‌های پلیمر		
۴-۳-۱	۱۷	۱۷
تأثیر اجزای کاتالیزور در فرایند پلیمریزاسیون		
۴-۱	۱۹	۱۹
مواد نگهدارنده سیلیکاتی		
۱-۴-۱	۲۰	۲۰
مواد نگهدارنده غیر سیلیکا		
۲-۴-۱	۲۵	۲۵
فعال‌سازی کاتالیزور و پلیمریزاسیون		
۵-۱	۲۷	۲۷
پلیمریزاسیون		
۱-۵-۱	۲۹	۲۹
کوکاتالیزور		
۲-۵-۱	۳۰	۳۰
مطالعات مدل سیستکی واکنش پلیمریزاسیون اتیلن با استفاده از کاتالیزور کرومیوم		
۶-۱	۳۱	۳۱
خصوصیات کاتالیزور		
۱-۶-۱	۳۲	۳۲
کاتالیزورهای کرومیوم بر پایه ذوبیت		
۲-۶-۱	۳۸	۳۸
کاتالیزورهای کرومیوم بر پایه سیلیکا		
۳-۶-۱	۴۰	۴۰
کاتالیزورهای کرومیوم بر پایه زغال		
۴-۶-۱	۴۳	۴۳
مکانیسم فرایند پلیمریزاسیون اتیلن با کاتالیزور فیلیپس		
۷-۱	۴۴	۴۴
مکانیسم پلیمریزاسیون		
۱-۷-۱	۴۴	۴۴
مسومونکننده‌های کاتالیزور کرومیوم بر پایه سیلیکا		
۸-۱	۵۳	۵۳
افزایش مسومونکننده‌ها به راکتور و بررسی تأثیر آنها در فرایند پلیمریزاسیون		
۱-۸-۱	۵۴	۵۴
نگهدارنده		
۹-۱	۵۷	۵۷

۵۹	روش سل-ژل	۱-۹-۱
۶۲	mekanizm تشکیل ساختارهای منظم مزوپور	۱۰-۱
۶۵	مروری بر ساختارهای منظم مزوپور خانواده SBA	۱۱-۱
۶۷	SBA-۱۵	۱-۱۱-۱
۶۹	SDA بازافت	۲-۱۱-۱
۷۰	پلی اتیلن با ساختار شیش کباب	۱۲-۱

## فصل دوم:

۷۷	مواد و روش‌ها	۲
۷۷	مشخصات کلی در مورد مواد اولیه و دستگاه‌های مورد استفاده	۱-۲
۷۸	تهیه حلال‌های خشک	۲-۲
۷۹	تهیه نگهدارنده سیلیکایی SBA-۱۵ هگزاگونال	۳-۲
۸۰	تهیه نگهدارنده سیلیکایی MCM-۴۱	۴-۲
۸۱	تهیه نگهدارنده سیلیکایی SBA-۱۱ مکعبی	۵-۲
۸۱	تهیه نگهدارنده سیلیکایی SBA-۱۵ کروی	۶-۲
۸۲	تهیه نگهدارنده سیلیکایی Al/SBA-۱۵ هگزاگونال	۷-۲
۸۳	تهیه نگهدارنده سیلیکایی Ti/SBA-۱۵ هگزاگونال	۸-۲
۸۳	تهیه پیش‌کاتالیزور	۹-۲
۸۷	فعالسازی پیش‌کاتالیزور	۱۰-۲
۸۸	مراحل انجام پلیمریزاسیون	۱۱-۲
۸۸	آماده سازی اجزای پلیمریزاسیون و انتقال به راکتور	۱-۱۱-۲
۸۹	پلیمریزاسیون اتیلن در فاز دوگابی	۲-۱۱-۲
۹۱	دستگاه‌های مورد استفاده برای شناسایی	۱۲-۲
۹۱	طیفاسنج فوریه مادون قرمز	۱-۱۲-۲
۹۲	تفرق اشعه ایکس	۲-۱۲-۲
۹۲	جذب نیتروژن	۳-۱۲-۲
۹۲	میکروسکوپ الکترونی رویشی	۴-۱۲-۲
۹۳	میکروسکوپ الکترونی عبوری	۵-۱۲-۲

۹۳	گرماسنجی پویشی تفاضلی	۶-۱۲-۲
۹۳	آنالیز وزن سنجی	۷-۱۲-۲
۹۴	ICP	۸-۱۲-۲
۹۵	شاخص جریان مذاب	۹-۱۲-۲
فصل سوم		
۹۷	بحث و نتیجه گیری	۳
۹۷	مقدمه	۱-۳
۹۷	تهیه و شناسایی نگهدارنده ها به عنوان بستر کاتالیزور فیلیپس	۲-۳
۹۷	SBA-۱۵ هگراگونال	۱-۲-۳
۱۰۷	نگهدارنده سیلیکایی SBA-۱۵ کروی	۲-۲-۳
۱۱۲	MCM-۴۱	۳-۲-۳
۱۱۵	SBA-۱۱	۴-۲-۳
۱۱۸	Al/SBA-۱۵	۵-۲-۳
۱۲۱	Ti/SBA-۱۵	۶-۲-۳
۱۲۵	تهیه کاتالیزور کرومیوم بر پایه سیلیکایی به روش غوطه وری	۳-۳
۱۲۷	تهیه کاتالیزور Cr/SBA-۱۵ به روش غوطه وری	۴-۳
۱۳۴	شرایط فعال سازی کاتالیزور Cr/SBA-۱۵	۱-۴-۳
۱۳۵	مقدار کرومیوم	۲-۴-۳
۱۳۷	سیتیک پلیمریزاسیون	۳-۴-۳
۱۳۸	تأثیر دمای پلیمریزاسیون روی فعالیت کاتالیزور	۴-۴-۳
۱۳۸	تأثیر غلظت کمک کاتالیزور روی فعالیت کاتالیزور	۵-۴-۳
۱۳۹	پلیمریزاسیون اتیلن	۵-۳
۱۴۰	کاتالیزور کرومیوم بر پایه MCM-۴۱	۱-۵-۳
۱۴۰	کاتالیزور کرومیوم بر پایه SBA-۱۱ مکعبی	۲-۵-۳
۱۴۸	کاتالیزور کرومیوم بر پایه SBA-۱۵ هگراگونال	۳-۵-۳
۱۵۸	کاتالیزور کرومیوم بر پایه (Sp)-۱۵	۴-۵-۳
۱۶۳	کاتالیزور کرومیوم بر پایه Al/SBA-۱۵	۵-۵-۳
۱۶۶	کاتالیزور کرومیوم بر پایه Ti/SBA-۱۵	۶-۵-۳
۱۶۹	کاتالیزور کرومیوم بر پایه SiO <sub>۲</sub> (G ۶۴۳)	۷-۵-۳
۱۸۰	نتیجه گیری	
۱۸۴	مراجع	

## فهرست شکل‌ها

۱۲	شکل ۱-۱ مراحل ستر کاتالیزور فیلیپس [۵]
۱۳	شکل ۱-۲ تهیه نگهدارنده اصلاح شده با تیتانیم قبل از تهیه سیلیکا [۵ و ۶]
۱۴	شکل ۱-۳ تهیه نگهدارنده اصلاح شده با تیتانیم بعد از تهیه سیلیکا [۵ و ۶]
۱۵	شکل ۱-۴ تصاویر SEM (الف) کاتالیزور Cr/SiO <sub>۲</sub> , (ب) ذرات پلیمر تولید شده توسط کاتالیزور، (ج) یکی از ذرات کاتالیزور یافت شده در پلیمر.
۱۶	شکل ۱-۵ طیف EDAX ذرات پلیمر نشان داده شده در شکل ۱-۴ (ج).
۱۷	شکل ۱-۶ تصاویر SEM (الف) کاتالیزور Cr/Y و (ب و ج) ذرات پلیمری تولید شده توسط کاتالیزور زئولیت در بزرگنمایی‌های مختلف.
۱۸	شکل ۱-۷ سرعت مصرف اتیلن (t <sub>M</sub> ) به صورت تابع زمان (t) برای پلیمریزاسیون‌های انجام شده روی ۶، ۷، ۸-۰ Cr/Y که غلظت کروم = $10^{-4}$ × ۶/۲۶ مولار؛ نسبت آلمینیم به کروم = ۱۰/۸ (●)، ۲۰/۸ (◆)، ۳۰/۵ (■)، ۴۰/۹ (◇)، دما = ۰°C = ۲۵. ۲۵°C. نمادها داده‌های تجربی هستند و خطوط متناظر با مدل سیتیکی هستند.
۱۹	شکل ۱-۸ سرعت مصرف اتیلن (t <sub>M</sub> ) به عنوان تابع زمان (t) برای پلیمریزاسیون‌های انجام شده روی ۶، ۷، ۸-۰ Cr/SiO <sub>۲</sub> که غلظت کروم = $10^{-4}$ × ۵/۱۸ مولار؛ نسبت آلمینیم به کروم = ۲۰۰ (●)، ۲۰/۷ (◆)، ۳۵/۵ (■)، ۴۰/۹ (◇)، دما = ۰°C = ۲۵. نمادها داده‌های تجربی هستند و خطوط متناظر با مدل سیتیکی هستند.
۲۰	شکل ۱-۹ سرعت مصرف اتیلن (t <sub>M</sub> ) به عنوان تابع زمان (t) برای پلیمریزاسیون‌های انجام شده روی ۶، ۷، ۸-۰ Cr/C-۴۴ که غلظت کروم = $10^{-3}$ × ۴۳ مولار؛ نسبت آلمینیم به کروم = ۱۵۰ (●)، ۲۰ (◆)، ۲۷ (■)، دما = ۰°C = ۲۵. نمادها داده‌های تجربی هستند و خطوط متناظر با مدل سیتیکی هستند.
۲۱	شکل ۱-۱۰ مکانیسم‌های آغازی متفاوت پلیمریزاسیون اتیلن روی کاتالیزورهای Cr(II)O <sub>x</sub> /SiO <sub>۲</sub> فیلیپس پیش احیاء شده.
۲۲	شکل ۱-۱۱ دیاگرام شماتیکی سیستم تجربی برای آماده‌سازی اتیلن کاتالیزور CrO <sub>x</sub> /SiO <sub>۲</sub> فیلیپس، ۱: سیلندر گاز نیتروژن (گردید)، ۳ و ۴: فلومتر گازی، ۵: ستون غربال مولکولی Å، ۶ و ۷: ستون کاتالیزوری Q-۵، ۸ و ۹: ستون غربال مولکولی ۱۰: ۱۳، ۱۱: تله نیتروژن مایع، ۱۲: آب بند مایع پارافینی، ۱۳: glove box، ۱۴: سیلندر گاز نیتروژن (گردید)، ۱۵: شیر.
۲۳	شکل ۱-۱۲ منحنی تکاملی TPD-MS اتیلن (m/e = ۲۸) از کاتالیزور فیلیپس آماده‌سازی شده در شرایط معمولی برای ۲ ساعت. شرایط TPD: سرعت افزایش دما ۰°C/min، دمای اتاق ۰°C، سرعت جریان گاز هلیم ۵۰ ml/min.
۲۴	شکل ۱-۱۳ منحنی‌های تکاملی TPD-MS سه نمونه حاوی فرمالدھید و دو اولفین کوتاه جدید از کاتالیزور فیلیپس اتیلن آماده‌سازی شده در شرایط معمولی برای ۲ ساعت. منحنی ۱: پروپن (m/e = ۴۲)، منحنی ۲: فرمالدھید (m/e = ۳۰)، منحنی ۳: بوتان (m/e = ۵۶)، منحنی ۴: پنتن (m/e = ۷۰)، شرایط TPD: سرعت افزایش دما ۰°C/min، دمای اتاق = ۵۰۰°C، سرعت جریان گاز هلیم ۵۰ ml/min.
۲۵	شکل ۱-۱۴ سه روش مکانیسمی محتمل (I)، (II) و (III) از آغاز متابسیز اتیلن و تشکیل گونه‌های هیدروکربنی اولیه در طول دوره القای روح کاتالیزور فیلیپس کلیسینه شده Cr(VI)/SiO <sub>۲</sub> از طریق برهمنکش با اتیلن در شرایط معمولی.
۲۶	شکل ۱-۱۵ پروفایل‌های سیتیکی کاتالیزورهای Cr(VI)/Сіліка با و بدون افزایش اکسیژن به راکتور.
۲۷	شکل ۱-۱۶ پروفایل‌های سیتیکی کاتالیزورهای Cr(VI)/Сіліка با و بدون افزایش مثانول به راکتور.
۲۸	شکل ۱-۱۷ پروفایل‌های سیتیکی کاتالیزورهای Cr(VI)/Сіліка با و بدون افزایش استیلن به راکتور.
۲۹	شکل ۱-۱۸ پروفایل‌های سیتیکی کاتالیزور احیاء شده Cr(VI)/Сіلیکا، با و بدون افزایش مثانول به راکتور.
۳۰	شکل ۱-۱۹ پروفایل‌های سیتیکی کاتالیزور احیاء شده Cr(VI)/Сіلیکا، با و بدون افزایش مونوکسیدکربن به راکتور.
۳۱	شکل ۱-۲۰ پروفایل‌های سیتیکی کاتالیزور احیاء شده Cr(VI)/Сіلیکا-تیتانیم با مقادیر مختلفی از مونوکسیدکربن که در دمای ۲۵°C قبلاً از وارد شدن به راکتور و قرار گرفتن در معرض اتیلن، پیش‌جذب شده بود (مو: C: CO: CO <sub>2</sub> : N <sub>2</sub> : ۳۵۰°C = ۸۵۰°C).
۳۲	شکل ۱-۲۱ متوسط راندمان پلیمر از کاتالیزورهایی که در شکل ۱-۲۰ در مقابل مقدار سم اضافه شده به کاتالیزور رسم شده‌اند.
۳۳	شکل ۱-۲۲ شاخص ذوب پلیمر و پروفایل‌های سیتیکی کاتالیزور کروم/Сіلіکا-تیتانیم (۸۷۰°C). به کاتالیزور زمان زیادی داده می‌شود تا پلیمر در راکتور ساخته شود، شاخص ذوب (MI) آن پلیمر کاهش می‌یابد و جرم مولکولی پلیمر افزایش می‌یابد. همچنین سرعت پلیمریزاسیون همان

کاتالیزور با زمان افزایش پیدا می کند و در نهایت ثابت می شود. نمادهای مختلف دستورهای انفرادی را نشان می دهد که در زمان های مختلف برای به دست آوردن سنجش شاخص ذوب ختم شده بودند.	۵۷
..... شکل ۲۳-۱ نمایشی از روش سل-ژل	۶۰
..... شکل ۲۴-۱ مکانیسم پیشه‌هایی بک در تشکیل نگهدارنده سیلیکایی با استفاده از سورفکتانت	۶۲
..... شکل ۲۵-۱ مکانیسم پیشه‌هایی دیویس در تشکیل نگهدارنده سیلیکایی با استفاده از سورفکتانت	۶۴
..... شکل ۲۶-۱ مکانیسم پیشه‌هایی استاکی در تشکیل نگهدارنده سیلیکایی با استفاده از سورفکتانت	۶۵
..... شکل ۲۷ تصویر میکروسکوپ الکترونی عبوری (TEM) SBA-۱۵ (TEM)	۷۹
..... شکل ۲۸-۱ تصاویر TEM مربوط به مورفلوژی شیش-کباب ایجاد شده در اثر جریان با بزرگنمایی های مختلف	۷۱
..... شکل ۲۹-۱ اسپروولیت کریستالی پلیمر	۷۳
..... شکل ۳۰-۱ تشکیل زنجیرهای تاخورده	۷۴
..... شکل ۳۱-۱ تشکیل لاملاهای پلیمری از زنجیرهای تاخورده	۷۴
..... شکل ۳۲-۱ زنجیر پلیمری غیر قطعی	۷۵
..... شکل ۳۳-۱ Switchboard model	۷۶
..... شکل ۳۴-۱ طرز تشکیل پلیمر با مورفلوژی شیش-کباب که در آن اعمال جریان موجب القای ساختار با جهت گیری منظم می شود	۷۶
..... شکل ۱-۲ دستگاه نوارساز سدیم	۷۸
..... شکل ۲-۲ سامانه خشک کردن حلال	۷۹
..... شکل ۳-۲ سامانه به کار رفته در ساخت کاتالیزور به روش غوطه ورسازی	۸۰
..... شکل ۴-۲ سامانه به کار رفته در خشک کردن پیش کاتالیزور	۸۶
..... شکل ۵-۲ سامانه فعال سازی پیش کاتالیزور	۸۸
..... شکل ۶-۲ سیستم انتقال مواد به راکتور پلیمریزاسیون	۸۹
..... شکل ۷-۲ راکتور آزمایشگاهی مورد استفاده در پلیمریزاسیون گازی و دوغابی اتیلن	۹۱
..... شکل ۱-۳ الگوی تفرق اشعه ایکس پور SBA-۱۵ هگراگونال	۹۸
..... شکل ۲-۳ تصویر میکروسکوپ الکترونی (TEM) نگهدارنده SBA-۱۵ هگراگونال از مقطع عرضی	۹۸
..... شکل ۳-۳ تصویر میکروسکوپ الکترونی (TEM) نگهدارنده SBA-۱۵ هگراگونال از مقطع طولی	۹۹
..... شکل ۴-۳ تصویر میکروسکوپ الکترونی نگهدارنده SBA-۱۵ هگراگونال کلستینه شده (بزرگنمایی $\times 10000$ )	۹۹
..... شکل ۵-۵ تصویر میکروسکوپ الکترونی نگهدارنده SBA-۱۵ هگراگونال سوکسله شده (بزرگنمایی $\times 10000$ )	۱۰۰
..... شکل ۶-۳ نمودار ایزو ترم جذب- واجدب گاز نیتروژن نگهدارنده SBA-۱۵ هگراگونال	۱۰۲
..... شکل ۷-۳ اثر حلقه Hysteresis در ایزو ترم جذب- واجدب نیتروژن [۱۱۵]	۱۰۲
..... شکل ۸-۳ نمودار BJH نگهدارنده SBA-۱۵ هگراگونال جهت اندازه گیری میانگین قطر حفرات	۱۰۴
..... شکل ۹-۳ گرما وزن سنجی نگهدارنده SBA-۱۵ هگراگونال (-) سترزی، ( $\blacktriangle$ ) سوکسله شده برای دو روز، ( $\blacklozenge$ ) سوکسله شده برای ۳ روز و ( $\blacksquare$ ) کلستینه شده	۱۰۵
..... شکل ۱۰-۳ طیف FT-IR نگهدارنده SBA-۱۵ کلستینه شده	۱۰۶
..... شکل ۱۱-۳ تصاویر SEM نگهدارنده SBA-۱۵ کروی تهیه شده در (الف) $80^{\circ}\text{C}$ برای ۵ ساعت و (ب) $80^{\circ}\text{C}$ برای ۱۳۰ $^{\circ}\text{C}$ برای ۱۲ ساعت	۱۰۷
..... شکل ۱۲-۳ تصویر SEM سیلیکای مزوپروس سترز شده در غیاب کمک حلال اتانول در شرایط $80^{\circ}\text{C}$ برای ۵ ساعت و $130^{\circ}\text{C}$ برای ۱۲ ساعت (بزرگنمایی $\times ۳۵۰۵$ )	۱۰۸
..... شکل ۱۳-۳ الگوی تفرق اشعه ایکس پور (Sp) SBA-۱۵(Sp)	۱۰۹
..... شکل ۱۴-۳ (الف) نمودار ایزو ترم جذب- واجدب گاز نیتروژن و (ب) منحنی توزیع اندازه حفرات نگهدارنده SBA-۱۵ کروی (SBA-۱۵(Sp))	۱۱۰
..... شکل ۱۵-۳ نمایش تجمع میسل های مخلوط CTAB-P1۲۳ و تشکیل ساختار (Sp) SBA-۱۵ [۱۲۱ و ۱۲۲]	۱۱۲

..... ۱۱۳	..... شکل ۱۶-۳ الگوی تفرق اشعه ایکس پودر MCM-۴۱.
..... ۱۱۴	..... شکل ۱۷-۳ نمودار ایزوترم جذب- واجذب گاز نیتروژن نگهدارنده ۴۱ MCM-۴۱.
..... ۱۱۴	..... شکل ۱۸-۳ نمودار BJH نگهدارنده ۴۱ MCM جهت اندازهگیری میانگین قطر حفرات.
..... ۱۱۵	..... شکل ۱۹-۳ (الف) تصاویر SEM نگهدارنده ۴۱ MCM (بزرگنمایی $\times 10000$ ) و (ب) (بزرگنمایی $\times 20000$ ).
..... ۱۱۶	..... شکل ۲۰-۳ الگوی تفرق اشعه ایکس نمونه ۱۱ SBA-۱۱ مکعبی.
..... ۱۱۷	..... شکل ۲۱-۳ (الف) تصاویر SEM نگهدارنده ۱۱ SBA مکعبی (بزرگنمایی $\times 3005$ ) و (ب) (بزرگنمایی $\times 7011$ ).
..... ۱۱۸	..... شکل ۲۲-۳ الگوی تفرق اشعه ایکس نمونهای (۰۰) SBA-۱۵ و (۰) AI/SBA-۱۵.
..... ۱۲۰	..... شکل ۲۳-۳ تصاویر میکروسکوپ الکترونی عبوری (TEM) (الف) SBA-۱۵ و (ب) SBA-۱۵ AI/SBA-۱۵.
..... ۱۲۱	..... شکل ۲۴-۳ تصاویر میکروسکوپ الکترونی (الف) نگهدارنده ۱۵ SBA (بزرگنمایی $\times 10000$ ) و (ب) نگهدارنده ۱۵ Al/SBA-۱۵ (بزرگنمایی $\times 10000$ ).
..... ۱۲۲	..... شکل ۲۵-۳ الگوی تفرق اشعه ایکس نمونهای (۰) SBA-۱۵ (▲) SBA-۱۵ (■) Al/SBA-۱۵ و (■) Ti/SBA-۱۵.
..... ۱۲۳	..... شکل ۲۶-۳ تصاویر میکروسکوپ الکترونی عبوری (TEM) (الف) SBA-۱۵ و (ب) SBA-۱۵ AI/SBA-۱۵.
..... ۱۲۴	..... شکل ۲۷-۳ تصاویر میکروسکوپ الکترونی (الف) نگهدارنده ۱۵ SBA (بزرگنمایی $\times 10000$ ) و (ب) نگهدارنده ۱۵ Al/SBA-۱۵ (بزرگنمایی $\times 10000$ ).
..... ۱۳۰	..... شکل ۲۸ تصویر میکروسکوپ الکترونی (TEM) کاتالیزور Cr/SBA-۱۵ از مقطع طولی.
..... ۱۳۱	..... شکل ۲۹ تصویر میکروسکوپ الکترونی (الف) نگهدارنده ۱۵ SBA کلسینه شده (بزرگنمایی $\times 10000$ ) و (ب) کاتالیزور Cr/SBA-۱۵ (بزرگنمایی $\times 20000$ ).
..... ۱۳۲	..... شکل ۳۰-۳ نمودار ایزوترم جذب- واجذب گاز نیتروژن کاتالیزور Cr/SBA-۱۵.
..... ۱۳۲	..... شکل ۳۱-۳ نمودار BJH کاتالیزور Cr/SBA-۱۵ جهت اندازهگیری میانگین قطر حفرات.
..... ۱۳۳	..... شکل ۳۲-۳ طیف FT-IR (-) نگهدارنده ۱۵ SBA و (-) کاتالیزور ۱۵ Cr/SBA-۱۵.
..... ۱۳۵	..... شکل ۳۳-۳ تأثیر دمای فعالسازی روی فعالیت کاتالیزور Cr/SBA-۱۵ Solvent=Hexane, %Cr=۰,۲, P <sub>p</sub> =۳۱,۵ bar, T <sub>p</sub> =۱۰۴ °C.
..... ۱۳۶	..... شکل ۳۴ تأثیر درصد بارگذاری روی فعالیت کاتالیزور Cr/SBA-۱۵ Solvent=Hexane, P <sub>p</sub> =۳۱,۵ bar, T <sub>p</sub> =۱۰۴ °C. (Cocatalyst=TEAL).
..... ۱۳۶	..... شکل ۳۵-۳ تأثیر فشار اتیلن روی فعالیت کاتالیزور ۱۵ Cr/SBA-۱۵ (♦) رفتار مشاهده شده (▲) رفتار درجه اول (C, Cr=۰,۲, T <sub>p</sub> =۱۰۴ °C). (Cocatalyst=TEAL, Solvent=Hexane).
..... ۱۳۷	..... شکل ۳۶-۳ تأثیر دمای پلیمریزاسیون روی فعالیت کاتالیزور Cr/SBA-۱۵ Solvent=Hexane, Cr=۰,۲, P <sub>p</sub> =۱۳۸ bar (Cocatalyst=TEAL).
..... ۱۳۸	..... شکل ۳۷ تأثیر غلظت کمک کاتالیزور روی فعالیت کاتالیزور Cr/SBA-۱۵ Solvent=Hexane, Cr=۰,۲, T <sub>p</sub> =۹۰ °C P <sub>p</sub> =۱۳۸ bar (Cocatalyst=TEAL).
..... ۱۳۹	..... شکل ۳۸-۳ گرمانگاشتهای DSC پلی اتیلن تولید شده با کاتالیزور (الف) Cr/MCM-۴۱ و (ب) (بزرگنمایی از د و (و) بزرگنمایی از ه).
..... ۱۴۲	..... شکل ۳۹-۳ الگوی تفرق اشعه ایکس پلی اتیلن تولید شده با کاتالیزور (♦) Cr/MCM-۴۱ و (■) Cr/SiO <sub>x</sub> (Ald).
..... ۱۴۳	..... شکل ۴۰-۳ تصاویر SEM پلی اتیلن تهیه شده با کاتالیزور (الف) Cr/SiO <sub>x</sub> (Ald) (ب) بزرگنمایی از الف، (ج) بزرگنمایی از ب، (د) Cr/MCM-۴۱ (ه) بزرگنمایی از د و (و) بزرگنمایی از ه.
..... ۱۴۴	..... شکل ۴۱-۳ گرمانگاشتهای DSC پلی اتیلن تولید شده با کاتالیزور ۱۱ Cr/SBA-۱۱.
..... ۱۴۶	..... شکل ۴۲-۳ الگوی تفرق اشعه ایکس پلی اتیلن تولید شده با کاتالیزور (♦) Cr/MCM-۴۱ (■) Cr/SiO <sub>x</sub> (Ald) و (▲) Cr/SBA-۱۱ (ج) (C, Cr/MCM-۴۱ (■) Cr/SiO <sub>x</sub> (Ald) (ب) (بزرگنمایی $\times 10000$ )). (ج) (بزرگنمایی $\times 20000$ ) و (د) (بزرگنمایی $\times 30000$ ).
..... ۱۴۷	..... شکل ۴۳ تصاویر SEM پلی اتیلن تهیه شده با (الف) کاتالیزور ۱۱ Cr/SBA-۱۱ (بزرگنمایی $\times 5000$ ), (ب) (بزرگنمایی $\times 10000$ ).
..... ۱۴۸	..... شکل ۴۴-۳ گرمانگاشتهای DSC پلی اتیلن تولید شده با کاتالیزور (Hex) (C, Cr/MCM-۴۱ (■) Cr/SiO <sub>x</sub> (Ald) (♦) Cr/SBA-۱۱ (▲) Cr/SBA-۱۱ (■) Cr/SiO <sub>x</sub> (Ald) (ب) (بزرگنمایی $\times 10000$ )). (ج) (بزرگنمایی $\times 20000$ ) و (د) (بزرگنمایی $\times 30000$ ).
..... ۱۵۰	..... شکل ۴۵-۳ الگوی تفرق اشعه ایکس پلی اتیلن تولید شده با کاتالیزور (Hex) (C, Cr/SBA-۱۱ (▲) Cr/MCM-۴۱ (■) Cr/SiO <sub>x</sub> (Ald) (♦) Cr/SBA-۱۱ (▲) Cr/SBA-۱۱ (■) Cr/SiO <sub>x</sub> (Ald) (ب) (بزرگنمایی $\times 10000$ )). (ج) (بزرگنمایی $\times 20000$ ) و (د) (بزرگنمایی $\times 30000$ ).
..... ۱۵۱	..... شکل ۴۶-۳ گرمانگاشتهای DSC پلی اتیلن تولید شده با کاتالیزور Cr/SBA-۱۵.

شکل ۴۶-۳ تصاویر SEM پلی اتیلن تهیه شده با کاتالیزور (الف) Cr/SBA-۱۵(Hex) (بزرگنمایی $\times 8465$ ) و (ب) (بزرگنمایی $\times 30000$ ). <sup>۱۰۲</sup>	۱۰۲
شکل ۴۷-۳ مکانیسم فرضی برای تشکیل نانوفیرهای پلی اتیلنی توسط پلیمریزاسیون اکستروژنی مزوحرفات SBA-۱۵(Hex). <sup>۱۰۳</sup>	۱۰۳
شکل ۴۸-۳ مکانیسم تشکیل نانوفیرهای پلی اتیلنی از کاتالیزور (Hex). <sup>۱۰۳</sup>	۱۰۳
شکل ۴۹-۳ فرایند تشکیل زنجیر تاخورده. <sup>۱۰۴</sup>	۱۰۴
شکل ۵۰-۳ تصاویر SEM پلی اتیلن تهیه شده با کاتالیزور Cr/SBA-۱۵(Hex) (الف) نگهدارنده SBA-۱۵(Hex) کلسینه شده (بزرگنمایی $\times 8465$ ) و (ب) نگهدارنده (Hex) SBA-۱۵(Hex) کلسینه نشده (بزرگنمایی $\times 25000$ ). <sup>۱۰۵</sup>	۱۰۵
شکل ۵۱-۳ تصاویر SEM پلی اتیلن تهیه شده با کاتالیزور Cr/SBA-۱۵(Hex) در دماهای پلیمریزاسیون مختلف (الف) دمای $90^{\circ}\text{C}$ (بزرگنمایی $\times 8465$ ), ب) (بزرگنمایی $\times 30000$ ), (ج) دمای $104^{\circ}\text{C}$ (بزرگنمایی $\times 10000$ ), (د) دمای $112^{\circ}\text{C}$ (بزرگنمایی $\times 40000$ ) و (و) (بزرگنمایی $\times 100000$ ). <sup>۱۰۶</sup>	۱۰۶
شکل ۵۲-۳ توزیع اندازه ذرات پلی اتیلن حاصل از کاتالیزورهای (الف) Cr/SiO <sub>x</sub> (Ald) و (ب) Cr/SBA-۱۵(Hex). <sup>۱۰۷</sup>	۱۰۷
شکل ۵۳-۳ گرمانگاشتهای DSC پلی اتیلن تولید شده با کاتالیزور Cr/SBA-۱۵(Sp). <sup>۱۰۸</sup>	۱۰۸
شکل ۵۴-۳ الگوی تفرق اشعه ایکس پلی اتیلن تولید شده با کاتالیزور (♦) Cr/SBA-۱۵(Sp)(■) و (■) Cr/SBA-۱۵(Sp). <sup>۱۰۹</sup>	۱۰۹
شکل ۵۵-۳ تصاویر SEM پلی اتیلن تهیه شده با کاتالیزور (الف) Cr/SBA-۱۵(Sp) (بزرگنمایی $\times 7500$ ) و (ب) (بزرگنمایی $\times 15000$ ). <sup>۱۱۰</sup>	۱۱۰
شکل ۵۶-۳ توزیع اندازه ذرات پلی اتیلن حاصل از کاتالیزور ۱۵ SBA-۱۵ کروی. <sup>۱۱۱</sup>	۱۱۱
شکل ۵۷-۳ گرمانگاشتهای DSC پلی اتیلن تولید شده با کاتالیزور ۱۵ Cr/Al/SBA-۱۵ طیف EDAX کاتالیزور. <sup>۱۱۲</sup>	۱۱۲
شکل ۵۸-۳ الگوی تفرق اشعه ایکس پلی اتیلن تولید شده با کاتالیزور (♦) Cr/SBA-۱۵(Sp)(■) و (■) Cr/SBA-۱۵(▲). <sup>۱۱۳</sup>	۱۱۳
شکل ۵۹-۳ تصاویر SEM پلی اتیلن تهیه شده با کاتالیزور (الف) Cr/Al/SBA-۱۵ (بزرگنمایی $\times 20000$ ) و (ب) (بزرگنمایی $\times 30000$ ). <sup>۱۱۴</sup>	۱۱۴
شکل ۶۰-۳ گرمانگاشتهای DSC پلی اتیلن تولید شده با کاتالیزور ۱۵ Cr/Ti/SBA-۱۵ طیف EDAX کاتالیزور. <sup>۱۱۵</sup>	۱۱۵
شکل ۶۱-۳ تصاویر SEM پلی اتیلن تهیه شده با کاتالیزور ۱۵ Cr/Ti/SBA (الف) (بزرگنمایی $\times 20000$ ) و (ب) (بزرگنمایی $\times 30000$ ). <sup>۱۱۶</sup>	۱۱۶
شکل ۶۲-۳ طیف EDAX کاتالیزور Cr/SiO <sub>x</sub> (G ۶۴۳). <sup>۱۱۷</sup>	۱۱۷
شکل ۶۳-۳ طیف EDAX کاتالیزور Cr/Ti/SiO <sub>x</sub> (G ۶۴۳). <sup>۱۱۸</sup>	۱۱۸
شکل ۶۴-۳ گرمانگاشتهای DSC پلی اتیلن تولید شده با کاتالیزور Cr/SiO <sub>x</sub> (G ۶۴۳). <sup>۱۱۹</sup>	۱۱۹
شکل ۶۵-۳ گرمانگاشتهای DSC پلی اتیلن تولید شده با کاتالیزور Cr/Ti/SiO <sub>x</sub> (G ۶۴۳). <sup>۱۲۰</sup>	۱۲۰
شکل ۶۶-۳ الگوی تفرق اشعه ایکس پلی اتیلن تولید شده با کاتالیزور (♦) Cr/SiO <sub>x</sub> (G ۶۴۳) (▲) (■) و (■) Cr/SBA-۱۵(▲). <sup>۱۲۱</sup>	۱۲۱
شکل ۶۷-۳ تصاویر SEM پلی اتیلن تهیه شده با کاتالیزور (الف) Cr/SiO <sub>x</sub> (G ۶۴۳) (ب) (بزرگنمایی $\times 17000$ ) و (ج) (بزرگنمایی $\times 69375$ ). <sup>۱۲۲</sup>	۱۲۲
شکل ۶۸-۳ تصاویر SEM پلی اتیلن تهیه شده با کاتالیزور (الف) Cr/Ti/SiO <sub>x</sub> (G ۶۴۳) (ب) (بزرگنمایی $\times 11600$ ) و (ج) (بزرگنمایی $\times 23200$ ). <sup>۱۲۳</sup>	۱۲۳
شکل ۶۹-۳ تصاویر SEM کاتالیزور Cr/SiO <sub>x</sub> (G ۶۴۳) (الف) (بزرگنمایی $\times 3500$ ), (ب) (بزرگنمایی $\times 5000$ ), (ج) (بزرگنمایی $\times 25000$ ) و (د) (بزرگنمایی $\times 100000$ ). <sup>۱۲۴</sup>	۱۲۴
شکل ۷۰-۳ توزیع اندازه ذرات پلی اتیلن حاصل از کاتالیزور Cr/SiO <sub>x</sub> (G ۶۴۳) (الف) (بزرگنمایی $\times 20000$ ), (ب) (بزرگنمایی $\times 30000$ ), (ج) (بزرگنمایی $\times 50000$ ) و (د) (بزرگنمایی $\times 250000$ ). <sup>۱۲۵</sup>	۱۲۵
شکل ۷۱-۳ توزیع اندازه ذرات پلی اتیلن حاصل از کاتالیزور Cr/Ti/SiO <sub>x</sub> (G ۶۴۳). <sup>۱۲۶</sup>	۱۲۶

## فهرست جداول ها

جدول ۱-۱ ثابت های سرعت سیستمیکی تخمین زده شده توسط انطباق مدل با داده های تجربی بدست آمده با کاتالیزورهای مختلف <sup>۱</sup>	۴۰
جدول ۲-۱ طیف جرمی قطعات اتیلن، پروپن و بوتان در طول اندازه گیری اسپکتروسکوپی جرمی ۴ قطبه	۵۰
جدول ۲-۳ پارامترهای ساختاری نگهدارنده SBA-۱۵ هگزاگونال کلسینه شده.	۱۰۰
جدول ۲-۴ پارامترهای ساختاری نگهدارنده SBA-۱۵(Sp)	۱۰۷

۱۱۳.....	جدول ۳-۳ پارامترهای ساختاری نگهدارنده MCM-۴۱
۱۱۷.....	جدول ۳-۴ پارامترهای ساختاری نگهدارنده SBA-۱۱
۱۱۹.....	جدول ۳-۵ پارامترهای ساختاری نگهدارنده Al/SBA-۱۵
۱۲۳.....	جدول ۳-۶ پارامترهای ساختاری نگهدارنده Ti/SBA-۱۵
۱۲۵.....	جدول ۳-۷ پارامترهای ساختاری نگهدارندهای سنتزی و تجاری.
۱۳۳.....	جدول ۳-۸ پارامترهای ساختاری کاتالیزور Cr/SBA-۱۵ با نگهدارنده SBA-۱۵ هگزاگونال.
۱۴۰.....	جدول ۳-۹ شرایط بهینه بدست آمده برای پلیمریزاسیون اتیلن با استفاده از کاتالیزور Cr/SBA-۱۵
۱۴۰.....	جدول ۳-۱۰ نتایج پلیمریزاسیون اتیلن با کاتالیزور کرومیوم بر پایه سیلیکا تجاری و MCM-۴۱
۱۴۵.....	جدول ۳-۱۱ نتایج پلیمریزاسیون اتیلن با کاتالیزور Cr/SBA-۱۱ در مقایسه با کاتالیزورهای دیگر.
۱۴۹.....	جدول ۳-۱۲ نتایج پلیمریزاسیون اتیلن با کاتالیزور Cr/SBA-۱۵(Hex) در مقایسه با کاتالیزورهای دیگر.
۱۵۰.....	جدول ۳-۱۳ نتایج پلیمریزاسیون اتیلن با کاتالیزور Cr/SBA-۱۵(Hex) در دماهای مختلف.
۱۵۹.....	جدول ۳-۱۴ نتایج پلیمریزاسیون اتیلن با کاتالیزور Cr/SBA-۱۵(Sp) در مقایسه با کاتالیزورهای دیگر.
۱۶۴.....	جدول ۳-۱۵ نتایج پلیمریزاسیون اتیلن با کاتالیزور Cr/Al/SBA-۱۵ در مقایسه با کاتالیزورهای دیگر.
۱۶۷.....	جدول ۳-۱۶ نتایج پلیمریزاسیون اتیلن با کاتالیزور Cr/Ti/SBA-۱۵ در مقایسه با کاتالیزورهای دیگر.
۱۶۹.....	جدول ۳-۱۷ نتایج پلیمریزاسیون اتیلن با کاتالیزور Cr/Ti/SiO <sub>7</sub> (G ۶۴۳) و Cr/SiO <sub>7</sub> (G ۶۴۳) در مقایسه با کاتالیزورهای دیگر.

## فهرست شماتیک‌ها

۳۶.....	شماتیک ۱-۱ مکانیسم پیشنهاد شده برای پلیمریزاسیون اتیلن روی کاتالیزورهای کرومیوم نگهدارنده شده.
۳۶.....	شماتیک ۲-۱ معادله‌های دیفرانسیلی همراه با موازنۀ مواد برای همه گونه‌های درگیر.
۴۲.....	شماتیک ۳-۱
۹۷.....	شماتیک ۱-۳ واکنش تهیه SBA-۱۵ هگزاگونال.
۱۰۶.....	شماتیک ۲-۳ واکنش تهیه SBA-۱۵(Sp).
۱۱۲.....	شماتیک ۳-۳ واکنش تهیه MCM-۴۱ هگزاگونال.
۱۱۰.....	شماتیک ۴-۳ واکنش تهیه SBA-۱۱ مکعبی.
۱۱۸.....	شماتیک ۵-۳ واکنش تهیه Al/SBA-۱۵ هگزاگونال.
۱۲۱.....	شماتیک ۶-۳ واکنش تهیه Ti/SBA-۱۵.
۱۲۹.....	شماتیک ۷-۳ مراحل سنتز کاتالیزور Cr/SBA-۱۵ Cr و فعال‌سازی آن.
۱۳۵.....	شماتیک ۸-۳ تأثیر دما روی هیدروکسیل زدایی سطح سیلیکا [۱۴۵].

## چکیده

سال‌های زیادی است که کاتالیزورهای اکسیدکرومیوم برپایه سیلیکا برای تولید پلیاتیلن استفاده می‌شوند و بیش از ۴۰ درصد از پلیاتیلن با چگالی بالا در جهان توسط این کاتالیزورها تولید می‌شود. کمپلکس‌های نیترات کرومیوم  $\text{Cr}(\text{NO}_3)_3 \cdot 9\text{H}_2\text{O}$  روی سطح ۶ ماده بلوری میان‌حفره شامل SBA-11، MCM-41، SBA-15 هگزاگونال، SBA-15 کروی، SBA-15 حاوی آلومینیم (Al/Si=۲۹) و SBA-15 حاوی تیتانیم (Ti/Si=۳۴) و دو ماده مرجع گریس و آلدربیچ پیوند زده شدند. نگهدارنده‌ها با دستگاههایی شامل تفرق اشعه ایکس، جذب نیتروژن، میکروسکوپ الکترونی عبوری، میکروسکوپ الکترونی روبشی، پلاسمای زوج شده القایی، آنالیز وزن سنجی و اسپکتوسکوپی مادون قرمز شناسایی شدند.

در کاتالیزورهای سنتز شده،  $\text{Cr(III)}$  به صورت گونه‌های سطحی با کوردیناسیون شبکه اکتاہدرال موجود می‌باشد. بعد از کلسیناسیون،  $\text{Cr(III)}$  تقریباً به صورت کامل اکسید می‌شود و به حالت‌های مختلفی شامل دیکرومات، کرومات، مقدار کمی خوش‌های  $\text{Cr}_2\text{O}_3$  آمورف و یون‌های  $\text{Cr}^{5+}$  منشور مربعی به سطح آویزان شده‌اند.

این مواد در پلیمریزاسیون فاز دوغابی اتیلن در  $90^{\circ}\text{C}$  فعال هستند. فعالیت پلیمریزاسیون وابسته به درصد بارگذاری کرومیوم، دمای کلسیناسیون و خصوصیات نگهدارنده شامل مساحت سطح، حجم حفرات، اندازه حفرات و ضخامت دیواره می‌باشد. شرایط بهینه‌شده شامل  $\text{Al/Cr}=5$ ، دمای پلیمریزاسیون  $90^{\circ}\text{C}$ ،  $13/8$  بار، درصد بارگذاری کرومیوم ( $20\%$  درصد وزنی) و دمای کلسیناسیون  $85^{\circ}\text{C}$  درجه می‌باشد.

نانوالیاف پلیاتیلنی از طریق پلیمریزاسیون اکستروژنی اتیلن با استفاده از سیستم کاتالیزوری کرومیوم بر پایه SBA-15 تهیه شده بودند. قطر نانوفیبرهای منفرد  $100-250$  نانومتر بود. این نانوالیاف‌ها به طور جزئی سطح خارجی SBA-15 را می‌پوشانند. ذرات کاتالیزوری همچنین به تدریج در طول پلیمریزاسیون اتیلن شکسته و منجر به تشکیل پلیاتیلن آمورف و بلوری با چگالی توده‌یی پایین و دمای ذوب در محدوده  $138-142^{\circ}\text{C}$  می‌شود. این نقطه ذوب بالا نشان‌دهنده تشکیل پلیاتیلن با جرم مولکولی بسیار بالا می‌باشد. همچنین نتایج آنالیز حرارتی نشان می‌دهند که نقطه ذوب نمونه‌های تولید شده با کاتالیزورهای بر پایه SBA-15 بالاتر از نمونه‌های تولید شده با  $\text{Cr/SiO}_2(\text{Ald})$  در همان شرایط می‌باشد که می‌تواند مربوط به حضور ساختار زنجیرهای گسترده باشد.

پلی‌اتیلن شیش-کباب از طریق پلیمریزاسیون درجا با استفاده از سیستم کاتالیزوری کرومیوم بر پایه سیلیکائی گریس ۶۴۳ تهیه شد. این پلیمرها نقاط ذوب و چگالی قابل مقایسه با پلی‌اتیلن با چگالی بالای حاصل از  $\text{Cr/SiO}_2(\text{Ald})$  نشان دادند. از میان کاتالیزورهای بر پایه سیلیکائی مزوپروس، کاتالیزور  $\text{Cr/Ti/SBA-15}$  با ۲ درصد وزنی کرومیوم دارای بالاترین فعالیت (۸۴۵ کیلوگرم پلی‌اتیلن بر گرم کروم بر ساعت) است که فعالیت بالا احتمالاً مربوط به حجم حفره، ضخامت دیواره، اندازه حفره بالا و اثر الکترون کشنده‌گی تیتانیم می‌باشد.

## فصل اول

### ۱ تهیه سیلیکا به عنوان نگهدارنده کاتالیزور فیلیپس

#### ۱-۱ تاریخچه

در سال ۱۹۵۰ زمانی که هاگان و بانکس در شرکت نفت فیلیپس مشغول پژوهش بودند، متوجه شدند که اتیلن می‌تواند در حضور کاتالیزور کرومیم اکسید-آلومینا به پلیمری جامد تبدیل شود<sup>[۱]</sup> و به این ترتیب کاتالیزور فیلیپس برای اولین بار جهت پلیمریزاسیون اتیلن وارد صنعت شد. آنها تشخیص دادند که کاتالیزور فیلیپس از دو جزء اصلی کروم در حالت شش‌ظرفیتی  $\text{Cr(VI)}$  و ماده نگهدارنده سیلیکا یا سیلیکا-آلومینا تشکیل شده است. با وجود مطالعه وسیع روی این کاتالیزورها، رفتار دقیق آنها در کنترل سیستمیکی پلیمریزاسیون و ساختار پلیمر حاصل هنوز مشخص نشده است. ثابت شده که ترکیب شیمیایی کاتالیزور و ساختار متخلخل آن تأثیر زیادی در فعالیت کاتالیزور و خصوصیات ساختاری پلیمر حاصل دارد<sup>[۲]</sup>. محققان بر اساس فعالیت کاتالیزور و نحوه کنترل وزن مولکولی، توزیع وزن مولکولی و کنترل شاخه‌های جانبی در پلیمر، کاتالیزورهای مختلفی را تهیه و تجاری نموده‌اند. حساسیت ساختار پلیمر به نوع فرایند، مخصوصاً روش‌های فعال‌سازی و شرایط واکنش موجب گسترش زیاد این کاتالیزورها شده است. امروزه ۳۰ درصد از کل ظرفیت پلی‌اتیلن با چگالی بالای<sup>۱</sup> موجود در

<sup>۱</sup> HDPE

جهان توسط کاتالیزورهای فیلیپس تهیه می‌شود. پلیمرهای تهیه شده با استفاده از این نوع کاتالیزور در ساختن ظروف غذاهای مایع، بطری‌های نگهداری مواد شیمیایی، تانکرهای گاز، ساخت فیلم، ورقه، لوله، سیم، کابل و غیره استفاده می‌شوند.

## ۲-۱ روش تهیه کاتالیزور

کاتالیزور فیلیپس معمولاً حاوی ۱ درصد کرومیوم بوده که روی سطح سیلیکا یا مواد نگهدارنده حاوی سیلیکا قرار داده می‌شود. در این نوع کاتالیزورها Cr(III) روی ماده نگهدارنده نگهدارنده می‌شود و در اتمسفر اکسیژن در دمای بالا اکسید شده و به گونه‌های Cr(VI) تبدیل می‌شود. سپس گونه‌های Cr(VI) با گروههای هیدروکسی موجود در سطح سیلیکا واکنش داده و در طول پلیمریزاسیون در حضور اولفین‌ها فعال می‌شوند<sup>[۳]</sup>.

مراحل تهیه سیلیکاژلی مورد نیاز برای تهیه کاتالیزور فیلیپس در زیر خلاصه شده است:

- مخلوط کردن سیلیکات سدیم و اسید سولفوریک در pH کمتر از ۷ که باعث تولید سیلیکا هیدروسول<sup>۱</sup> می‌شود.
- ژلهای نمودن هیدروسول<sup>۲</sup> برای تهیه هیدروژل<sup>۳</sup>.
- شستن هیدروژل برای حذف سدیم سولفات و اطمینان از استحکام حرارتی بالا.
- اصلاح مساحت سطح و ساختار حفرات در برابر پرشدن<sup>۴</sup> حرارتی.
- حذف آب برای تهیه سیلیکای زروژل<sup>۵</sup>

<sup>۱</sup> Silica Hydrosol

<sup>۲</sup> Hydrosol

<sup>۳</sup> Hydrogel

<sup>۴</sup> Aging

<sup>۵</sup> Silica Xerogel

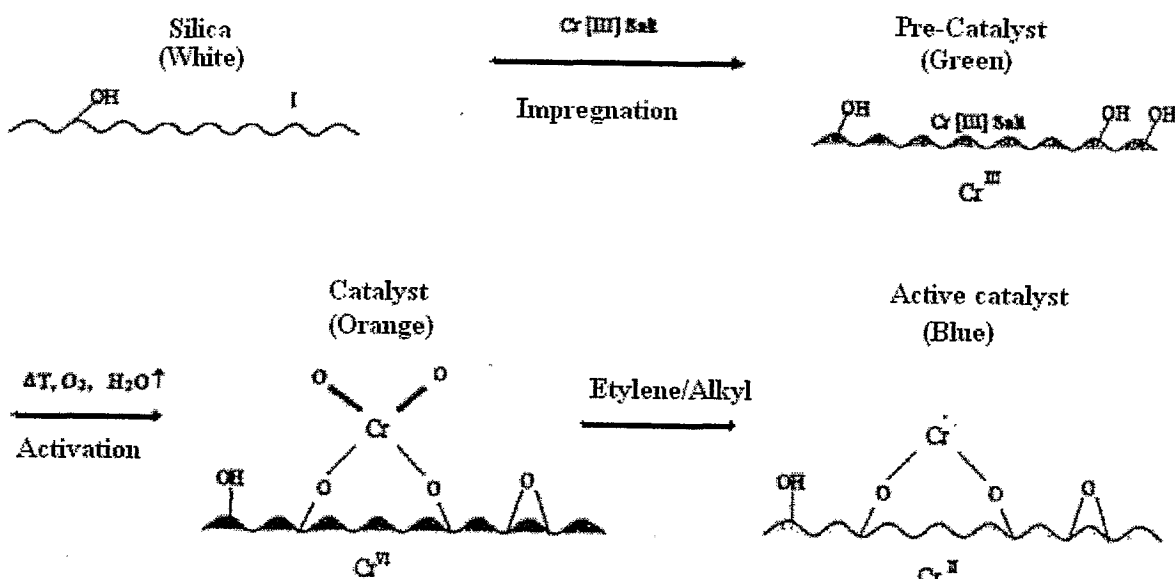
• درجه‌بندی و طبقه‌بندی توزیع اندازه ذرات مورد نیاز.

همه مراحل ساخت فوق در ساختار نهایی محصول سیلیکا مؤثر می‌باشند(شکل ۱-۱). از تغییر شرایط ذکر شده می‌توان سیلیکاها<sup>۱</sup> با مساحت سطح در محدوده  $m^2/g$  ۱۰۰-۵۰ و حجم حفرات در محدوده  $Cm^3/g$  ۳/۰-۴/۰ سنتز نمود. توزیع اندازه حفرات نیز می‌تواند متنوع باشد؛ برای مثال رکرز<sup>۲</sup> و لايب<sup>۳</sup> روشی را برای تهیه سیلیکاژل دو قطعه‌ای<sup>۳</sup> و استفاده آن به عنوان نگهدارنده ارائه نمودند[۴]. برای تهیه کاتالیزور،  $\text{Cr}_2\text{O}_3$  را روی نگهدارنده سیلیکا قرار داده و در یک دمای بالا حرارت می‌دهند تا با رسیدن به حالت ظرفیتی مناسب فعال شود. این روش فعال‌سازی معمولاً با گرم کردن اکسید کرومیوم-سیلیکای خشک در دمای حدود ۲۵۰ تا ۱۲۰۰°C برای چندین ساعت در اتمسفر مناسب انجام می‌شود. در این حالت اکسید کرومیوم به حالت ظرفیتی مناسب جهت پلیمریزاسیون در دمای پایین فعال خواهد شد. فعال‌سازی کاتالیزور در حضور گاز حاوی اکسیژن، مانند هوا ترجیح داده می‌شود. مقدار کرومیوم در کاتالیزور تهیه شده معمولاً حدود ۰/۲-۳% درصد وزنی نسبت به کل کاتالیزور می‌باشد البته محدوده ترجیحی ۰/۵-۳% درصد وزنی است.

<sup>۱</sup> Rekers

<sup>۲</sup> Laib

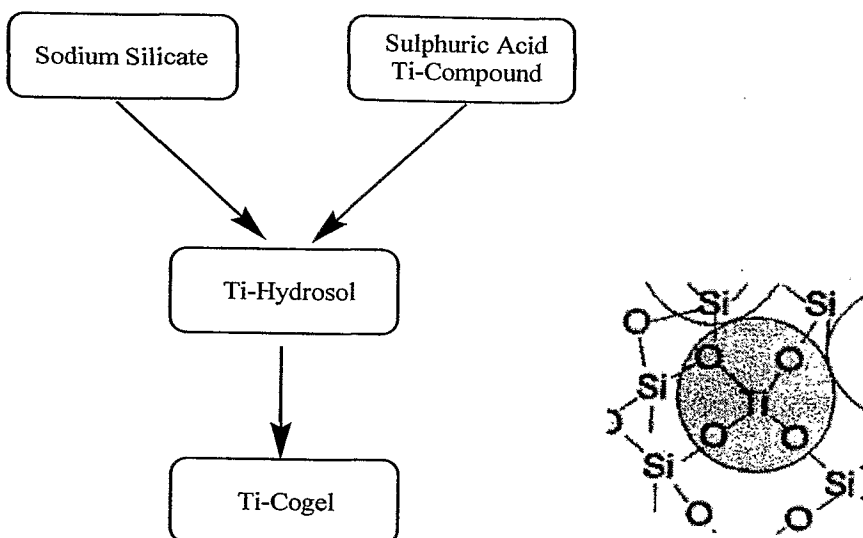
<sup>۳</sup> Bimodal



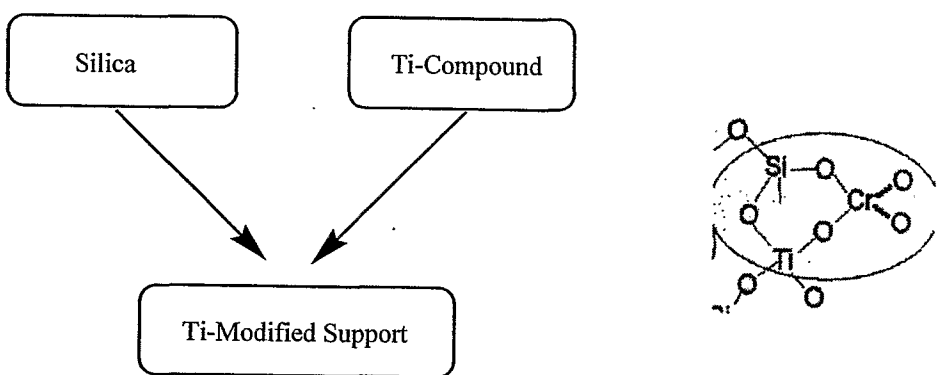
شکل ۱-۱ مراحل سنتز کاتالیزور فیلیپس [۵]

از سیلیکاکوژل‌ها<sup>۱</sup> مانند سیلیکا-تیتانیا به عنوان نگهدارنده برای تهیه کاتالیزور فیلیپس استفاده می‌کنند. برای تهیه سیلیکاکمکژل‌ها دو روش وجود دارد که این روش‌ها، تولید دو نوع کاتالیزور فیلیپس را موجب می‌شوند (شکل ۲-۱ و شکل ۳-۱). در نوع اول تیتانیم توسط یک محلول اسیدی، قبل از تهیه هیدروسوول وارد ساختار سیلیکا می‌شود (شکل ۲-۱) [۵ و ۶]. نوع دیگری از کاتالیزور فیلیپس از طریق آغشته نمودن سطح سیلیکا با یک ترکیب تیتانیم تهیه می‌شود (شکل ۳-۱). به طور کلی آغشته نمودن می‌تواند قبل، در طول و یا بعد از آغشته نمودن خود کرومیوم صورت گیرد. معمولاً در این کار از حلال‌های آلی استفاده می‌شود. بعضی از تقویت‌کننده‌ها به ویژه ترکیبات تیتانیم نیز می‌توانند در حین فعال‌سازی در دمای بالا برای اصلاح کاتالیزور فیلیپس استفاده شوند [۶].

<sup>۱</sup> Silica Cogel



شکل ۱-۲ تهیه نگهدارنده اصلاح شده با تیتانیم قبل از تهیه سیلیکا [۵ و ۶]



شکل ۱-۳ تهیه نگهدارنده اصلاح شده با تیتانیم بعد از تهیه سیلیکا [۵ و ۶]

### ۱-۳ نقش سیلیکای نگهدارنده

کاتالیزورهای تجاری فیلیپس شامل ترکیبات کرومیوم بوده که روی سیلیکا، سیلیکا-آلومینا و سیلیکا-تیتانیا ثبیت می‌شوند. اثرات این نوع نگهدارنده‌ها به صورت زیر می‌باشد.